

# زمین لغزه عظیم جیرفت: معرفی، نشانه‌ها و ویژگی‌ها

احمد عباس نژاد<sup>\*</sup>

<sup>۱</sup>بخش زمین‌شناسی دانشگاه شهید باهنر کرمان، کرمان، ایران

تاریخ پذیرش: ۱۳۸۹/۰۶/۰۷

تاریخ دریافت: ۱۳۸۸/۰۹/۱۸

## چکیده

زمین لغزه عظیم و پیش از تاریخ جیرفت با مساحت حدود ۵۳ کیلومتر مربع، در فاصله ۳۵ کیلومتری شمال باخته شهر جیرفت و مجاور سد جیرفت، در محدوده‌ای با مختصات '۲۸۰ و ۲۸۰ تا ۵۳۰ و ۵۳۰ عرض شمالی و ۲۰° و ۳۰° طول خاوری قرار دارد. این زمین لغزه که بر اثر حرکت تودهای از سنگ آهک‌های ریفی بخش بالای سازند قم با شبیه ۶، حجم ۸ کیلومتر مکعب و سمترا محدود ۳۰۰ متر روی مارن‌های زیرین این سازند رخ داده است، با سنگ‌های خرد و متلاشی شده، بی‌هنگاری در مسیر هلیل رود و وجود قطعه سنگ‌های آذرین گرد شده در توده متلاشی شده قابل تشخیص است. بر اثر رخداد این زمین لغزه، مسیر هلیل رود کاملاً مسدود گردید و یک دریاچه موقعی شکل گرفت. سپس این دریاچه در محل دیگری که گودترین رخنه در دیواره آن قرار داشت (محل فعلی سد جیرفت) سرریز گرد و هلیل رود پس از طی حدود ۲/۵ کیلومتر از محل سرریز دوباره در پایین دست زمین لغزه وارد مسیر قبلی خود شد. بر اثر این تغییر مسیر، مخروط افکه توسط رود بریده شد و دره باریک و عمیقی در محدوده محل سرریز شدن تا محل اتصال به مسیر قبلی آن تشکیل شد و موجب بریده شدن مخروط افکه‌های کوچکی در مسیر گردید. وجود گسل‌های فعال متعدد و کم شیب بودن توده لغزنده حاکی از این است که این زمین لغزه احتمالاً در اثر زمین لرزه رخ داده است و مهم‌ترین ویژگی‌های آن شامل شیب بسیار کم (۶۰°)، اندازه (وسعت ۵۳ کیلومتر مربع و مسافت حرکت تا حدود ۷ کیلومتر)، چهار بخش بودن، سازو کار حرکت خاص (شباه با سایر استورستورم‌ها) و زمان ایجاد آن (احتمالاً ۱۰۰۰۰۰ تا ۶۰۰۰۰ هزار سال قبل) است و بسته به نوع دسته‌بندی زمین لغزه‌ها می‌توان آن را زمین لغزه بسیار سریع، سنگ لغزه، استورستورم، بهمن سنگی و بهمن خرد سنگ نامید.

**کلید واژه‌ها:** زمین لغزه، جیرفت، هلیل رود، سد جیرفت، بی‌هنگاری آبراهه‌ای، دریاچه طبیعی، مخروط افکه

\*نویسنده مسئول: احمد عباس نژاد

E-mail: aabbas@uk.ac.ir

## ۱- مقدمه

و معرفی شده‌اند. نمونه‌هایی از زمین لغزه‌های بزرگ دنیا که برای مثال توسط Coates (1981) شناسایی شده‌اند، عبارتند از: زمین لغزه فلیمز سوئیس به حجم ۱۲ کیلومتر مکعب و وسعت ۴۱/۴ کیلومتر مربع، زمین لغزه داووسی پائین به حجم ۲/۱ کیلومتر مکعب و وسعت ۱۰/۴ کیلومتر مربع، زمین لغزه شرمن آلاسکا به حجم ۰/۰۳ کیلومتر مکعب و وسعت ۴/۵ کیلومتر مربع و زمین لغزه واپونت ایتالیا به حجم ۰/۳ کیلومتر مکعب.

## ۲- روش مطالعه

مطالعه حاضر به طور کلی بر اساس پژوهش‌های میدانی انجام شده است، اگرچه از تفسیر عکس‌های هوایی منطقه نیز کمک گرفته شد. به علت شرایط نامساعد تپوگرافی و آب و هوایی منطقه، مطالعات صحرایی در چندین مرتبه و جمعاً طی دو سال (سال‌های ۸۶ و ۸۷) انجام شد و در هر بار یکی از بخش‌های منطقه از نظر زمین‌شناسی، ژئومورفولوژی و نشانه‌ها و اثرات زمین لغزه، مطالعه و نقشه‌باری شد و در پایان، با تهیه نقشه زمین‌شناسی زمین لغزه و بازدید از بخش‌های مختلف آن، امکان تحلیل نهایی فراهم شد.

## ۳- زمین‌شناسی منطقه

بر اساس تقسیم‌بندی زمین‌شناسی ایران توسط نبوی (۱۳۵۵)، منطقه مورد مطالعه در انتهای خاوری واحد اسفندقه - میریوان که به واحد سنتنچ - سیرجان نیز معروف است، قرار دارد. این منطقه در نقشه زمین‌شناسی چارگوش ۱:۱۰۰۰۰ اسفندقه واقع است و زمین‌شناسی آن توسط Timotijevic et al. (1972) مطالعه شده است. البته زمین لغزه جیرفت در نقشه فوق شناسایی و معرفی نشده است، بنابراین نقشه زمین‌شناسی محدوده زمین لغزه، به طور مستقل تهیه شد (شکل ۲).

قدیمی‌ترین واحد سنگی در این منطقه، سنگ‌های عمدتاً دگرگونی مناسب به تریاس، شامل شیست، سنگ آهک متبلور و متادیباز همراه با کنگلومرا و

زمین لغزه جیرفت در فاصله ۵۳ کیلومتری شمال باخته شهر جیرفت و مجاور نیروگاه سد جیرفت قرار دارد (شکل ۱). ارتفاع منطقه‌ای که زمین لغزه در آن رخ داده بین ۱۰۰۰ تا ۲۰۰۰ متر از سطح دریا متغیر است. میانگین بارندگی و دمای سالانه در ایستگاه حسین‌آباد واقع در نزدیکی این محل به ترتیب ۲۱۷ میلی‌متر و ۲۱/۴ درجه سانتی گراد است. آب و هوای این منطقه خشک است (عباس نژاد، ۱۳۸۷). هلیل رود که با این زمین لغزه ارتباط شدید دارد، بزرگ‌ترین رودخانه استان کرمان است و وسعت حوضه آبریز آن در بالادست محدوده مورد مطالعه ۸۴۵۰ کیلومتر مربع است. این رودخانه که آبدی‌های میانگین سالانه آن در ایستگاه حسین‌آباد نزدیک سد جیرفت ۱۵/۲ متر مکعب در ثانیه است، از دامنه‌های جنوبی کوه‌های لاله‌زار در شمال منطقه بافت سرچشمی می‌گیرد و پس از عبور از محدوده مورد مطالعه وارد دشت جیرفت، و سپس وارد باتلاق جازموریان می‌شود (افشین، ۱۳۷۳). اطلاعات بیشتر در مورد این رودخانه توسط مهندسین مشاور سازه‌پردازی ایران (۱۳۸۳)، حسینی (۱۳۸۶) و عباس نژاد (۱۳۸۷) ارائه شده است.

اگرچه بیشتر زمین لغزه‌های دنیا و از جمله ایران که اصولاً در مناطق کوهستانی پرشیب یافت می‌شوند، کوچک و متوسط هستند، اما انواع عظیم با اثرات زمین‌شناسخی بازتر نیز شناسایی شده‌اند. در ایران نمونه باز آنها که شهرت جهانی دارد و توسط پژوهشگران متعدد، از جمله Watson and Write (1967) مطالعه شده است، زمین لغزه سیمره در دامنه شمالي کبیرکوه واقع در شمال خوزستان است. زمین لغزه‌ای کوچک‌تر فراوانی در ایران رخ داده و معروف شده‌اند. از جمله زمین لغزه‌های جنوب رامسر (محمدی‌زاده و یمینی، ۱۳۸۵)، زمین لغزه دره لاسم، زمین لغزه باریکان طالقان (فاطمی عقدا و همکاران، ۱۳۸۴)، زمین لغزه زرین کوه (شمال آینه ورزان) که سبب به وجود آمدن دریاچه‌های کوهستانی تار و هویر در البرز شده است (شهرابی، ۱۳۸۴) و مجموعه زمین لغزه‌هایی که در دومین سمینار زمین لغزه و کاهش خسارت‌های آن (حق‌شناس و همکاران، ۱۳۷۶) معرفی شده‌اند. در مقیاس جهانی نیز زمین لغزه‌های بزرگ در بعضی از مناطق کوهستانی دنیا شناسایی

سو، زمین ساخت باعث تشدید اختلاف ارتفاع و شب توبوگرافی شده و به دنبال آن، هلیل رود توانسته به شدت بستر خود را حفر نماید. همان گونه که خواهیم دید، فرسایش شدید بستر، موجب بریده شدن کامل واحد آهکی سازند قم در دره قدیمی هلیل رود شده و با از میان رفتن این تکیه گاه، امکان لغزش بخشی از کوه فراهم شده است. تأثیر دوم زمین ساخت، شب دار شدن سازند قم است که آن هم برای ایجاد زمین‌لغزه ضروری بوده است. به نظر می‌رسد، سومین جنبه زمین ساخت این بوده که از طریق گسل‌های پویا و بروز زمین‌لرزه قوی حرکت توده بزرگی از کوهستان را راه انداخته و موجب تشکیل این زمین‌لغزه شده است. ارتباط زمین ساخت با زمین‌لغزه توسط Alexander and Formichi (1993) بررسی شده است.

#### ۴- ژئومورفولوژی

منطقه مورد مطالعه، ناحیه کوهستانی با اختلاف ارتفاع قابل ملاحظه است و ژئومورفولوژی آن متأثر از زمین ساخت، سنگ‌نگاری، فرسایش آبی و تاریخچه تحولات آن است. زمین ساخت، بر اختلاف ارتفاع و میزان فرسایش بستری آب‌های جاری تأثیر گذاشته است. واحد اصلی ژئومورفولوژی منطقه ناویدیس دوپلاتزی و معلق (perched) سد جیرفت است (شکل ۵). به عبارت دیگر، این ناویدیس بخش‌های مرتفع منطقه را اشغال کرده است، به گونه‌ای که واحد سنگ آهکی سازند قم که ناویدیس را تشکیل داده، مرتفع ترین بخش این منطقه را تشکیل می‌دهد و زمین‌لغزه در یال جنوب باخته آن رخ داده است (شکل ۶). تشکیل این ناویدیس معلق، این گونه توجیه می‌شود که در زمانی که بخش‌های دیگر سازند قم در ارتفاع بیشتر واقع و در حال فرسایش بوده‌اند، سنگ‌های این ناویدیس که در ارتفاع کمتر قرار داشتند فرسایش نمی‌یافتد و با از میان رفتن بخش‌های مرتفع اطراف و کاوش ارتفاع آنها، این ناویدیس که توسط سنگ آهک ریفی مقاوم حفاظت می‌شد و در مجاورت واحدهای فرسایش پذیری ماند واحدهای زیرین قرار گرفته، در بلندی واقع شده است. این نوع توبوگرافی وارونه در طبیعت کمیاب نیست.

واحد ژئومورفولوژی دیگر، فلات شب دار کوه شن یعقوب است که بخشی از یال جنوب باخته ناویدیس به شمار می‌رود و از سنگ آهک ریفی سازند قم با شب ۶ درجه به سمت شمال تشکیل شده است. این واحد را یک کوستای (Cuesta) بسیار کم‌شبی و یا عارضه حدواسط فلات و کوستا هم می‌توان در نظر گرفت که در طی زمین‌لغزه جیرفت، بخشی از آن جایه‌جا شده است. از نظر ژئومورفولوژی، یال شمال باخته ناویدیس سد جیرفت که پرشیب است به صورت هاگبک (hogback) درآمده است (شکل ۷).

یکی از واحدهای ژئومورفولوژی منطقه، تنگدره هلیل رود است که به صورت دره باریک و ژرف به طول ۲/۵ کیلومتر در محدوده سد جیرفت تا نیروگاه این سد قرار دارد (شکل‌های ۵، ۷ و ۸). ژرفای این دره حدود ۱۵۰ متر و پهنای آن تا ۵۰ متر است و به طور عمده در واحد آهکی سازند قم حفر شده است و در هیچ محل دیگری از مسیر هلیل رود چین دره‌ای به چشم نمی‌خورد.

بنابراین باید به عنوان یک قطعه مسیر یا دره بی‌亨جارت در نظر گرفته شود. در ادامه

ملاحظه خواهد شد که تشکیل این دره هم با زمین‌لغزه جیرفت ارتباط دارد. در این منطقه، هلیل رود دارای یک پادگانه قدیمی اصلی در زیر مواد زمین‌لغزه‌ای است (شکل ۹). بر اساس شواهد صحرایی، این رودخانه پس از ایجاد زمین‌لغزه، بستر خود را بریده و این پادگانه ایجاد شده است و در ضمن، از آنجا که هلیل رود پس از عبور از نیروگاه سد وارد دشت جیرفت شده و مخربوط افکنه عظیمی را می‌سازد که شهر جیرفت نیز روی آن مستقر شده است، می‌توان نتیجه گرفت که پیش از زمین‌لغزه، مخربوط افکنه خود را نمی‌بریده است (مشاهدات صحرایی نیز بیانگر این نکته است). آخرين واحد ژئومورفولوژی منطقه، زمین‌لغزه جیرفت است که در ادامه معرفی خواهد شد.

ماسه سنگ هستند (Dimitrijevic, 1973). این حال، یک واحد آتشفسانی مشکل از رویداست، آندزیت، آندزی بازالت و آذرآواری‌های متعلق به ائوسن، به طور دگرگشیب، واحدهای مناسب به تریاس را می‌پوشاند که خود در زیر آذرآواری‌ها و سنگ آهک‌های ماسه‌ای نومولیت دار ائوسن میانی تا بالایی قرار گرفته‌اند. در مجموع، واحدهای سنگی مربوط به قبل از الیگوسن به شدت چین خورده، تکتونیزه و در هم ریخته بوده و گاه دگرگون شده‌اند.

مهم‌ترین واحد سنگی منطقه از نظر ارتباط با زمین‌لغزه جیرفت، واحد معادل سازند قم است. این سازند در کوه شن یعقوب، حوالی سد جیرفت و به صورت تپه‌های متعددی در محور سد جیرفت - جیرفت - کهنه‌چخنمون دارد. در کوه شن یعقوب که بخشی از آن لغزش کرده است، این سازند به طور ناپیوسته بر روی سنگ‌های آتشفسانی ائوسن قرار گرفته و با کنگلوماری میان لایه‌های گچی می‌دهد. بالا به سرعت جای خود را به مارن و آهک مارنی دارای میان لایه‌های گچی می‌دهد. در بالا، بخش اصلی این سازند ظاهر می‌شود که از حدود ۲۰۰ متر سنگ آهک ریفی به رنگ روشن و با لایه‌بندی ضعیف دارای فسیل‌های فراوان تشکیل شده است. واحد آهکی سازند قم که به شدت سخره‌ساز است، دیواره‌های قائم منطقه را تشکیل می‌دهد و همان گونه که ملاحظه می‌شود، در طی زمین‌لغزه نسبت به واحد مارنی زیرین خود حرکت کرده است. فسیل‌های متعدد موجود در سازند قم سن آن را در حد شاتین تا آکیتانین زیرین نشان می‌دهند، بنابراین دریایی قم در این محل حدود ۲۰ میلیون سال دوام داشته و نزدیک به ۵۰۰ متر رسوب بر جای گذاشته است. اطلاعات بیشتر در مورد این سازند توسط فاریابی (۱۳۷۲) ارائه شده است.

در محدوده مورد مطالعه، بجز رسویات جوان کواترنری، هیچ واحد سنگی جوان تر از سازند قم به چشم نمی‌خورد و بنابراین دریایی قم پس از رسوب گذاری این سازند عقب‌نشینی کرده است. همچنین، رسویات کواترنری شامل آبرفت‌های پادگانه‌ای و بستری و مواد زمین‌لغزه‌ای است. مواد زمین‌لغزه‌ای شامل مخلوطی از ذرات ریز و درشت تا تخته‌سنگ‌ها و قطعه‌های به حجم تا ده متر مکعب است (شکل ۳).

در شعاع ۱۰۰ کیلومتری این توده لغزشی گسل‌های پویا و غیر پویایی متعددی قرار دارند (شکل ۴) که توسط مهندسین مشاور مهاب قدس (۱۳۷۳) و بروزگر و همکاران (۱۳۶۸) مطالعه و معروف شده‌اند. در جدول ۱ اسامی و توان لرزه‌زا این گسل‌ها درج شده است و بر اساس آن، بسیار از آنها به ویژه گسل فعال سیزوفاران واقع در حدود ۲۵ کیلومتری خاور این منطقه ممکن است در گذشته زلزله قوی برای به حجم تا آوردن زمین‌لغزه جیرفت ایجاد کرده باشند. خاطر نشان می‌سازد که ارتباط زمین‌لغزه‌ها با زلزله‌ها توسط مؤلفان مختلف از جمله Cotechia (1978) و Voight and Pariseau (1978) مورد تأکید قرار گرفته است و اصولاً زمین‌لغزه‌های ریشتری، می‌توانند دامنه‌های تا یک کیلومتر دورتر را گیخته کنند، اما زمین‌لغزه‌های با بزرگی ۶ دامنه‌های تا شعاع ۵ کیلومتر و زمین‌لغزه‌ای ۸ ریشتری دامنه‌ها را تا شعاع ۴۰۰ کیلومتر از مرکز زلزله را نیز می‌توانند ناپایدار سازند (Keefer, 1984). بدیهی است که این نتیجه گیری در مورد مناطق کوهستانی دنیا که دارای دامنه‌های پرشیب هستند، صدق می‌کند.

از نظر زمین ساختی، این منطقه در گذشته بسیار پویا بوده و در حال حاضر نیز پویاست. دگرگشیب‌های متعدد بیانگر تکرار فعالیت‌های زمین ساختی در آن است. چین خوردگی سازند قم و وجود گسل‌های عمدۀ متعدد نیز حاکی از پویا بودن آن است. سازند قم به صورت یک ناویدیس نامتقارن با دوپلاتز به سمت داخل در امتداد شمال باخته - جنوب خاوری چین خورده است و هلیل رود به طور غیرعادی عمود بر محور این ناویدیس آن را می‌برد (شکل‌های ۲ و ۵). شبی یال شمال خاوری ناویدیس که سد جیرفت هم در محدوده آن احداث شده است، حدود ۴۰ درجه اما شبی یال جنوب باخته آن تنها حدود ۶ درجه است. تأثیر زمین ساخت بر زمین‌لغزه جیرفت از سه جنبه قابل توجه است. از یک

## ۵- زمین لغزه جیرفت

زمین لغزه بزرگ کوههای راکی کانادا که آب و هوای مربوط تر از منطقه موردنده دارند کمتر از ۲۵° نبوده است (Curden, 1976). زمین لغزه های بزرگ اصولاً در دامنه های با شیب بیش از ۲۰° رخ می دهند (Mcguire et al., 2002). به نظر می رسد، ویژگی دیگر اندازه آن است. با توجه به شکل ۲ وسعت آن حدود ۵۳ کیلومتر مربع است که رقم قابل ملاحظه ای است.

سومین ویژگی زمین لغزه جیرفت این است که می توان آن را مشکل از چهار بخش در نظر گرفت. یک بخش جبهه کوهی رو به رو مسیر حرکت آن است که در این محل به دلیل این که فاصله حرکت سنگ ها از منشأ کمتر است (حدود ۳ کیلومتر) و ظاهراً سنگ ها هنوز به اندازه کافی سرعت نداشته اند، بنابراین کمتر متلاشی شده اند و حتی قطعه عظیمی از توده به ابعاد  $20 \times 0.5$  کیلومتر و ارتفاع ۲۰۰ متر نسبت به اطراف به کوهستان روبرو که از جنس خود آن است، برخورد کرده و اندکی روی آن رانده شده است، بدون این که متلاشی شود (شکل ۱۰). بخش های دوم و سوم زمین لغزه به ترتیب زبانه های شمالی و باختری آن است که به علت پیمودن مسیر طولانی تر، سنگ های آنها کاملاً متلاشی شده اند. پیشترین مسافت طی شده توسط زبانه ها حدود ۷ کیلومتر برآورده است. بالاخره، در خاور زمین لغزه، توده های کوچکتری از کوههای شن یعقوب جدا شده و به زبانه شمالی وصل شده اند. اگرچه می توان آنها را زمین لغزه مستقل نیز در نظر گرفت، اما از آنجا که بر اساس شواهد صحرایی، همزمان با زمین لغزه اصلی ایجاد شده و به هم متصل هستند، آنها نیز به عنوان زیر مجموعه زمین لغزه جیرفت در نظر گرفته می شوند. وجود زبانه های متعدد در این زمین لغزه ناشی از تأثیر توپوگرافی است.

یک جنبه دیگر زمین لغزه جیرفت سازو کار حرکت آن است. همان گونه که در مبحث بعدی ملاحظه می شود، به نظر می رسد، این توده در اثر یک زمین لغزه قوی راه افتاده و پس از طی مسافتی، مارن های زیرین آن که با آب های زیرزمینی درون سنگ آهک پوشاننده خود تماس داشته اند به صورت خمیری در آمد و به علت کاهش اصطکاک ناشی از آن، سرعت حرکت توده افزایش یافته است. افزایش سرعت موجب متلاشی شدن توده و تبدیل حرکت از لغزش به جریان شده است. به عنوان شاهد این نکته، قطعات زمین لغزه در فواصل نزدیک به مبدأ، به طور عمده از نوع قلعه های عظیم بوده، اما در فواصل دورتر از حدود ۲-۳ کیلومتر نسبت به مبدأ، به شدت متلاشی شده اند.

سرعت زیاد این نوع زمین لغزه ها که بر اساس میزان متلاشی شدن سنگ و مسافت حرکت روی شب های نه چندان زیاد استنبط می شود، به عنوان یک پدیده غیر معمول مورد توجه قرار گرفته است و آن را به اصطکاک بسیار کم و حتی چند سازو کار عجیب مانند وجود لایه ای از هوای به دام افتاده در بستر توده (Kent, 1966; Shreve, 1968)؛ تبخر آب بر اثر گرمای اصطکاک و به دنبال آن کاهش اصطکاک (Goguel, 1978) و ذوب سنگ بستر بر اثر اصطکاک (Erismann, 1979) سازو کارها را تأیید نکرده و به ندرت در مواردی بر اساس شواهد صحرایی پذیرفته شده اند. در این رابطه، یک نظر دیگر این است که سرعت زیاد الزاماً ناشی از کم بودن اصطکاک نیست، بلکه محرك دیگری مانند تجمع زیاد آب در سنگ نقش دارد (Mcguire et al., 2002). بر اساس یک نظریه باز هم جدیدتر، حرکت متلاطم قطعات موجب انتقال انرژی جنبشی (momentum transfer) میان قطعات و ذرات به هم برخورد کننده می شود و بر اثر آن تنش های انتشار دهنده (dispersive stresses) به وجود می آیند که حرکت را تسهیل می کنند (Curden and Varnes, 1996).

یک جنبه دیگر زمین لغزه جیرفت که به ندرت در موارد مشابه گزارش شده است، این است که می توان آن را به بخش های داخلی سالم تر و بخش های حاشیه ای (زبانه ها) که متلاشی شده اند، تقسیم کرد. به عبارت دیگر، در این زمین لغزه سنگ ها

### ۵-۱. نشانه های زمین لغزه

همان گونه که در شکل های ۲ و ۵ مشخص است، در طی این زمین لغزه بخشی از یک کوه به سمت دره هلیل رود حرکت کرده و با مسدود کردن دره به واحد آهکی مشابه خود برخورده کرده و اندکی روی آن رانده شده است (شکل ۱۰). به گونه ای که فضای میان واحد های آهکی به طور عمدۀ به سیله سنگ آهک متلاشی شده از جنس خود آنها پر شده است (شکل ۵). در این حالت تشخیص زمین لغزه دشوار می شود. به نظر می رسد، به همین دلیل Timotijevic et al. (1972) که نقشه زمین شناسی منطقه را تهیه کرده اند و نیز مهندسین مشاور سیران (CETIRAN, 1975) که برای احداث سد نیروگاه سد این منطقه را مطالعه کرده اند، موفق به شناسایی آن نشده اند. بنابراین در اینجا اثبات وجود این زمین لغزه ضروری به نظر می رسد.

نشانه های آن عبارتند از:

الف) وجود سنگ های متلاشی شده و در هم ریخته، شاخص زمین لغزه های بزرگ و سریع (شکل ۳).

ب) وجود قطعه سنگ های آذرین گرد شده از آبرفت های بستر هلیل رود، در بعضی نقاط در میان سنگ های زاویه دار سنگ آهک متلاشی شده (شکل ۱۱).

ج) در حالی که سنگ آهک سازند قم در شمال و جنوب خاوری توده رانشی یکپارچه بوده و شب ملایم و یکنواختی به سمت شمال دارد، در فضای میان آنها سنگ های متلاشی شده و اگر لایه بندی نشان دهنده با شب های مختلف و بدون نظم در جهت متفاوت قرار گرفته اند (شکل ۵).

د) با توجه به شکل ۱۲، هلیل رود تنها در این منطقه بی هنجاری نشان می دهد، به عبارت دیگر، به جای این که مستقیماً از محلی که گدار نامیده شده به سمت نیروگاه سد حرکت کند، مسیر طولانی تر یعنی گدار - سد جیرفت - نیروگاه را طی کرده است (مسیر اولیه هلیل رود در واقع گدار به نیروگاه بوده است، اما زمین لغزه باعث شده مسیر خود را تغییر دهد).

ه) هلیل رود ناودیس سد جیرفت را در جهت عمود بر راستای محور آن بریده است (شکل های ۲ و ۵)، در حالی که باید از امتداد ناودیس که هم راستا با مسیر حرکت این رود است، پیروی می کرد.

و) همان گونه که پیش تر گفته شد، بر خلاف سایر مناطق، دره هلیل رود تنها در محدوده سد جیرفت تا نیروگاه این سد تنگ و ژرف (تنگدره) است. بنابراین مسیر قدیمی و اولیه رودخانه نیست و از نظر زمین شناسی، به تازگی از این محل عبور کرده و چون زمان کافی برای فرسایش دامنه های دره آن وجود نداشته به صورت تنگدره دیده می شود.

### ۵-۲. ویژگی های زمین لغزه

در طی زمین لغزه جیرفت، بخشی از واحد سنگ آهکی (متعلق به سازند قم) تشکیل دهنده فلات شبیه دار (یا کوستای کم شبیه) کوه شن یعقوب همراه با مارن های بستر خود به سمت شمال حرکت کرده است. این نوع حرکت (حرکت سنگ آهک شبیه داری که روی مارن، رس یا شیل قرار داشته باشد) در طیعت کمیاب نیست. برای مثال می توان از زمین لغزه سیمره نام برد (اما یکی از ویژگی های این زمین لغزه که بسیار کمیاب است، این است که شب سنگ آهک ۶ درجه است. در حالی که معمولاً دامنه های مشتمل از سنگ های سخت با زوایای بیش از این هم پایدار هستند. در زمین لغزه معروف سیمره، شب واحد آهکی که حرکت کرده، ۲۰° بوده است. شب هیچ

الف) لرزه خیز بودن محل رخداد آنها  
ب) کم بودن شبیب دامنه ایجاد زمین‌لغزه (به گونه‌ای که اگر دامنه محل رخداد زمین‌لغزه به روش استاتیک تحلیل پایداری شود آن زمین‌لغزه نباید حادث شود، بنابراین برای ایجاد آن، نیاز به نیروی اضافی زمین‌لغزه وجود دارد).

ج) بزرگ بودن زمین‌لغزه.

د) زمین‌لغزه‌های ایجاد شده در سطوح توپوگرافی با وسعت دست کم چند کیلومتر مربع و نیز بهمنه‌های سنگی با مسافت حرکت زیاد معمولاً در اثر زمین‌لغزه رخ می‌دهند.

ه) دیده شدن پدیده‌های روانگرایی همراه با زمین‌لغزه.  
و) انطباق خوب بین سن زمین‌لغزه با سن پدیده‌های نشان دهنده حرکت در سطح گسل(های) فعال منطقه.

بدیهی است که هر چه تعداد بیشتری از این موارد در یک زمین‌لغزه خاص صدق کنند، احتمال زمین‌لغزه‌ای بودن آن بیشتر است. در مورد زمین‌لغزه جیرفت، چهار مورد اول به خوبی صدق می‌کنند. از آنجا که رخداد این زمین‌لغزه در سنگ‌های سخت ایجاد شده، انتظار نداریم، پدیده‌های مربوط به روانگرایی (مورد پنجم) همراه با آن دیده شوند و اثبات مورد ششم نیاز به مطالعات سن سنجی دارد که در این مطالعه انجام نشده است. بنابراین احتمال زمین‌لغزه‌ای بودن منشأ زمین‌لغزه جیرفت زیاد است، اگرچه در این مورد قطعیت کامل وجود ندارد. خاطر نشان می‌سازد که مشابه با زمین‌لغزه جیرفت، زمین‌لغزه‌ای در منطقه گبی-آلای مغولستان شناسایی شده است که به علت بزرگ بودن، نزدیکی به گسل فعال و کم شبیب بودن سطح لغزش، ایجاد آن را به زمین‌لغزه نسبت داده‌اند (Jibson, 2009). همچنین، ذکر این نکته ضروری است که چنانچه مجموعه‌ای از زمین‌لغزه‌ای در یک منطقه شناسایی شوند که معیارهایی مانند مواد زیر در مورد آنها صدق کند، احتمال زمین‌لغزه‌ای بودن آنها بیشتر خواهد بود:

الف) توزیع مکانی آنها با منطقه لرزه خیز هماهنگی داشته باشد.  
ب) توزیع مکانی آنها را نتوان به شرایط زمین‌شناسی و ژئومورفولوژی خاص غیر از زمین‌لغزه (برای مثل وجود سنگ خاص) نسبت داد.  
ج) ثابت شود که این زمین‌لغزه‌های فراوان و هم سن منطقه لرزه خیز در اثر بارش زیاد ایجاد نشده‌اند (این نکته را می‌توان با مطالعه نوع زمین‌لغزه و مشخصات مواد زمین‌لغزه‌ای ثابت کرد).

## ۷- نتیجه گیری

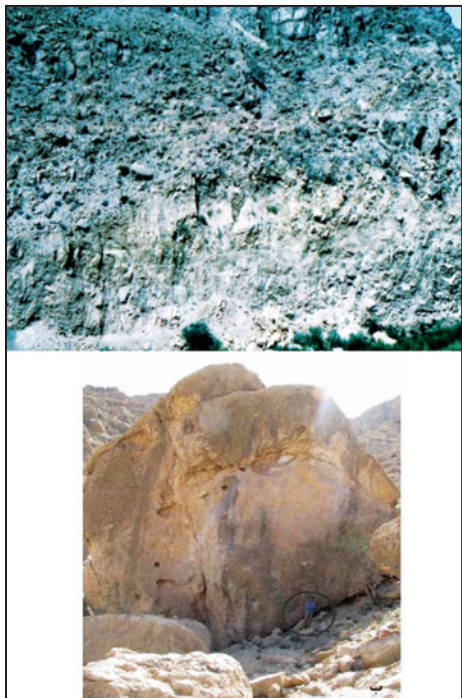
با توجه به آنچه در مورد موقعیت زمین‌شناسی، نشانه‌ها و ویژگی‌های زمین‌لغزه جیرفت مورد بررسی قرار گرفت، مشخص شد که این زمین‌لغزه که می‌توان آن را استورستورم و بهمن سنگی نیز نامید، با وسعت حدود ۵۳ کیلومتر مربع و حداقل مسافت حرکت حدود ۷ کیلومتر، در اثر لغزش سنگ آهک الیگومیوسن (بخش بالایی سازند قم) به سمترای حدود ۳۰۰ متر و شبیب حدود ۶ درجه روی مارن‌های زیرین این سازند ایجاد شده است. زمان احتمالی رخداد آن ۴۰۰۰۰ تا ۱۰۰۰۰۰ سال برآورد می‌شود و زمین‌لغزه به احتمال زیاد همزمان با یک زمین‌لغزه قوی در این منطقه زلزله خیز دارای گسل‌های فعال متعدد به وجود آمده است. در اثر آن، بخشی از مسیر سابق هلیل رود به طول حدود ۸ کیلومتر به طور کامل مسدود شد و یک دریاچه موقی در پشت مانع به وجود آمد. این دریاچه از محلی غیر از محل انسداد، یعنی در محل فعلی سد جیرفت، سرریز کرد و رودخانه پس از طی مسیری به طول حدود ۲/۵ کیلومتر دوباره به مسیر قبلی خود پیوسته است. این رویدادها باعث اثراتی مانند بریدگی مخروط افکنه‌ها، تشکیل ناهنجاری در مسیل هلیل رود و ایجاد تنگدره شدند.

هنوز تا مسافت حدود ۲-۳ کیلومتر از محل حرکت خود به اندازه کافی سرعت نگرفته‌اند که متلاشی شوند.

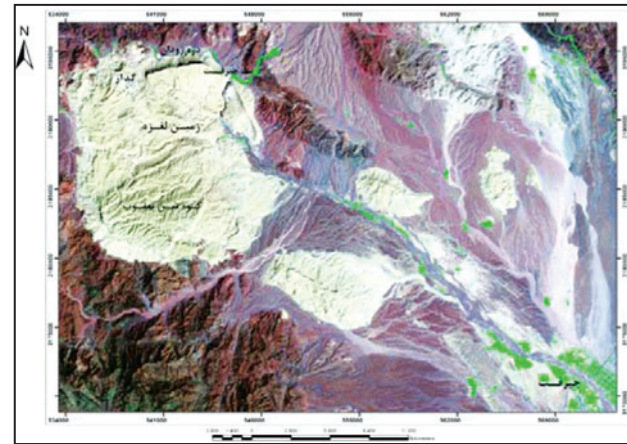
از مشخصات دیگر زمین‌لغزه جیرفت که لازم است مورد تأکید قرار گیرد، زمان ایجاد آن است. در این مورد باید اشاره کرد که: ۱) در سطح قله سنگ‌های آذربین درون سنگ‌های متلاشی شده و در سطح قله سنگ‌های موجود در قدیمی ترین پادگانه هلیل رود، جلای بیابان شدید و تکامل یافته‌ای به چشم می‌خورد (شکل ۱۲). ۲) در سطح قطعه‌های سنگی توده لغزشی رائل های (runnels) وجود دارد (شکل ۱۳) که مسلمان پس از رخداد زمین‌لغزه به وجود آمده‌اند. با توجه به خشک بودن منطقه، به نظر می‌رسد که تشکیل آنها نیاز به حدائق ده‌ها هزار سال وقت داشته باشد. ۳) همان گونه که در ادامه ملاحظه می‌شود، تنگدره هلیل رود که حد فاصل سد جیرفت تا نیروگاه این سد قرار دارد به طور عمده پس از زمین‌لغزه ایجاد شده است. حفر این دره با ژرفای حدود ۱۵۰ متر و از جنس سنگ آهک ریفی نیز احتمالاً ده‌ها هزار سال وقت لازم دارد. ۴) قرار گرفتن زبانه خاوری زمین‌لغزه روی آبرفت‌های کواترنری هلیل رود (شکل ۹) رخداد آن در کواترنری را نشان می‌دهد. در هر حال، اگر چه بر اساس جدول ارائه شده توسط Wohl (1999) سرعت حفر بستر توسط رودخانه‌ها از  $0/5$  تا  $1000$  سانتی‌متر در هزار سال در نقاط مختلف دنیا اندازه‌گیری شده است و میزان آن تابع عوامل مختلفی مانند شبیب بستر، مقدار بار رودخانه، نوع سنگ، آبدیهی و غیره است، اما تهیه منظور کسب ایده بیشتری از سن این زمین‌لغزه، اگر میزان فرسایشی را که توسط Lelland et al. (1995) در پاکستان اندازه‌گیری شده و شباهت زیادی با منطقه مورد مطالعه دارد، در نظر گرفته شود که در آن میزان حفر بستر ۱ سانتی‌متر در سال گزارش شده، و نیز با این فرض که تنها  $100$  متر از دره (بخش تنگ آن) پس از زمین‌لغزه حفر شده است، در این صورت رقم  $100,000$  سال به دست می‌آید. همچنین، چنانچه میزان انحلال رانل در این آب و هوای خشک،  $0/5$  سانتی‌متر در  $1000$  سال فرض شود و با توجه به این که ژرفای آنها حدود  $30$  سانتی‌متر است، در این صورت تشکیل آنها  $60,000$  سال طول کشیده است. به عنوان مثال‌های دیگر، مطالعه عوارض آبرفتی خاور گرند کانیون میزان حفر بستر را در حد  $2/0$  متر در هزار سال نشان داده است (Glen Canyon) و گلن کانیون (Pederson et al., 2006) ۲۵۰ متر ژرفای دارد، در طی  $500$  هزار سال ایجاد شده است (Garvin et al., 2005). آخرین ویژگی این زمین‌لغزه نوع آن است. در منابع علمی نام‌های مختلفی مانند بهمن سنگ لغزه، بهمن سنگی، بهمن خرد سنگ آهک چینه‌شناسی طویل المسیر، به این نوع حرکت دامنه‌ای داده شده است. Hsu برای اولین بار نام استورستورم را برای آنها برگردید که تا حدی مورد پذیرش قرار گرفته است. آنها از ذرات ریز تا قطعه‌های تا اندازه یک خانه تشکیل شده، مواد ریزتر معمولاً در زیر و یا درافق‌های خاص درون توده تجمع می‌یابند، معمولاً چینه‌شناسی بزرگ مقایسه پیش از گسیختگی را کم و بیش حفظ می‌کنند و سریع و ناگهانی شروع می‌شوند. Voight and Parisneau (1978) و McGuire et al. (2002) معتقدند که معمولاً وجود ساختار لایه‌ای و یا ناپیوستگی صفحه‌ای برای ایجاد آنها ضروری است. در هر حال، این موارد در زمین‌لغزه جیرفت نیز کم و بیش دیده می‌شوند. بنابراین، این زمین‌لغزه یک استورستورم است. جدول ۲ خلاصه مشخصات زمین‌لغزه جیرفت را نشان می‌دهد.

## ۶- نقش زمین‌لغزه در ایجاد این زمین‌لغزه

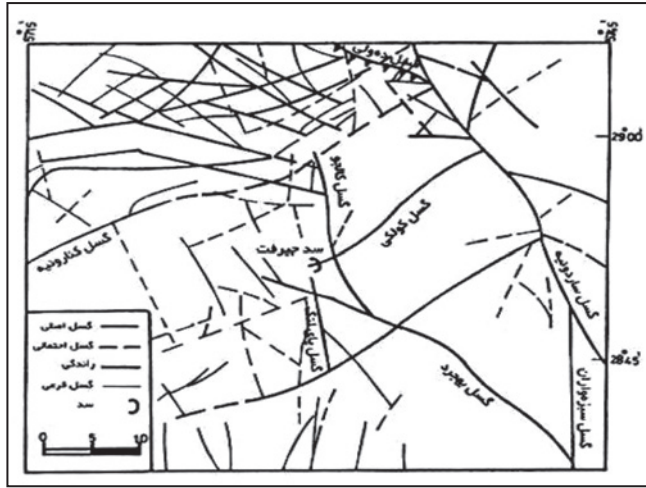
مهم‌ترین ویژگی‌های زمین‌لغزه‌های ناشی از زمین‌لغزه‌ها که مثلاً توسط Jibson (2009) معرفی شده‌اند عبارتند از:



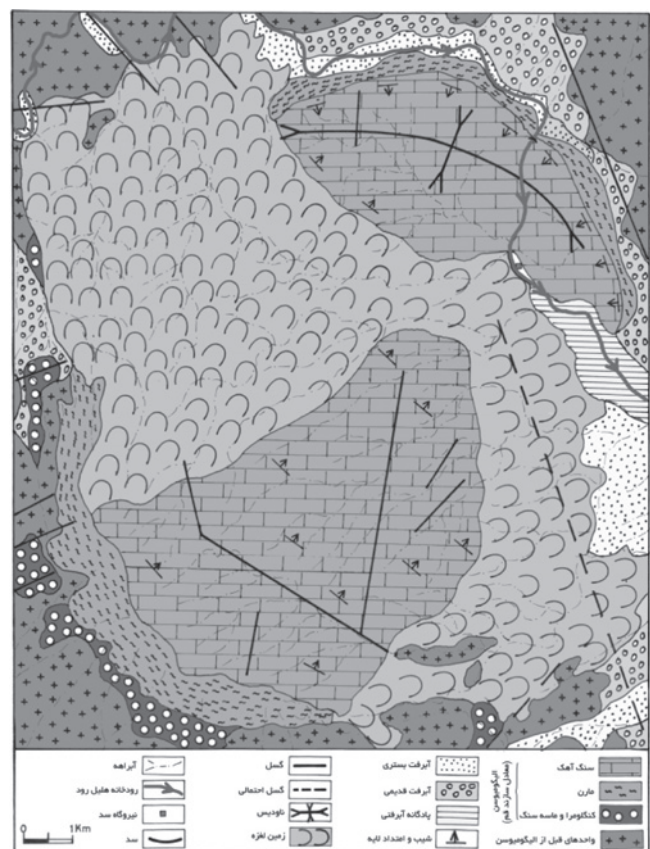
شکل ۳- تصاویری از مواد زمین لغزه‌ای: (الف) مخلوط درهمی از سنگ‌های متلاشی شده، (ب) قطعه سنگ‌های عظیم (به تصویر فرد به عنوان مقیاس توجه شود).



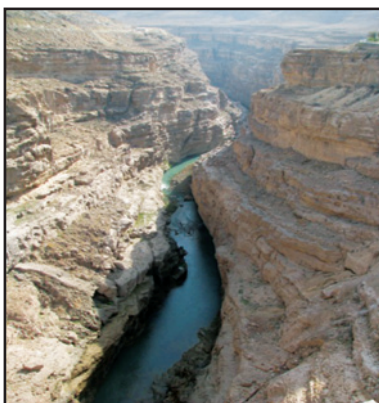
شکل ۱- موقعیت زمین لغزه جیرفت



شکل ۴- موقعیت گسل‌های مهم و عملت آفعال منطقه که می‌توانسته‌اند با ایجاد زمین لرده در راهاندازی زمین لغزه جیرفت مؤثر باشند (مهندسین مشاور مهاب قدس، ۱۳۷۳).



شکل ۲- نقشه زمین شناسی محدوده زمین لغزه



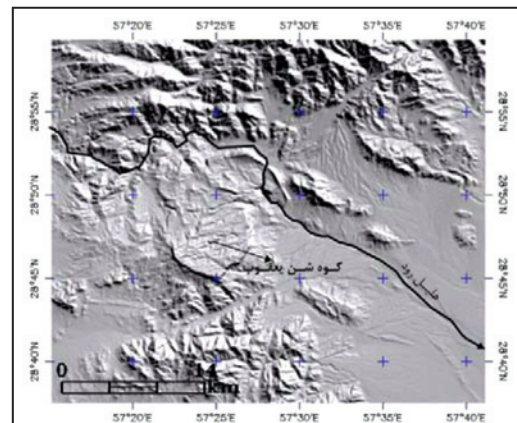
شکل ۸- تصویری از تنگدره هلیل رود واقع در محدوده سد جیرفت تایروگاه این سد، که به طور عمده در اثر سریز شدن دریاچه زمین‌لغزه‌ای و عبور هلیل رود از این محل در بعد از رخداد زمین‌لغزه ایجاد شده است.



شکل ۵- عکس هوایی با مقیاس حدود ۱:۵۰۰۰۰ اما کوچک شده محدوده زمین‌لغزه که در آن دره رودان (۱)، تنگدره هلیل رود (۲)، ناآودیس سد جیرفت با دو پلازنتر به سمت داخل (۳)، زمین‌لغزه (۴)، یکی از قطعه‌های بزرگ زمین‌لغزه (۵)، زیانه خاوری (۶)، فلات شیبدار کوه شن یعقوب (۷)، هایگبک تشکیل‌دهنده ضلع شمالی ناآودیس سد جیرفت (۸)، رخته‌ای که سد جیرفت در آن احداث شده (۹)، رخنه متروکه (۱۰)، محل نیروگاه سد (۱۱) و مسیر قبلی هلیل رود به چشم می‌خورند (بهتر است این شکل با شکل‌های ۲ و ۶ مقایسه شود).



شکل ۹- آبرفت‌های درشت‌دانه هلیل رود که به صورت افقی و با تن تیره در این تصویر قابل تشخیص هستند، در زیر مواد زمین‌لغزه‌ای قرار دارند و نشان‌دهنده رخداد زمین‌لغزه در دوران چهارم زمین‌شناسی بوده و همچنین حاکی از حفر بستر دره بعد از رخداد زمین‌لغزه از محل نیروگاه سد به بعد است.



شکل ۶- نقشه سایه روشن منطقه مورد مطالعه که در آن ارتفاع نسبی واحدهای مختلف ژئومورفولوژی و زمین‌شناسی مشخص شده است.



شکل ۱۰- در این تصویر یکی از بزرگ‌ترین قطعه‌های زمین‌لغزه که در شکل ۵ نیز مشخص شده است به صورت رانده شده روی سنگ آهک‌های از جنس خود که در مسیرش قرار داشته‌اند، دیده می‌شود (رانش ثقلی).



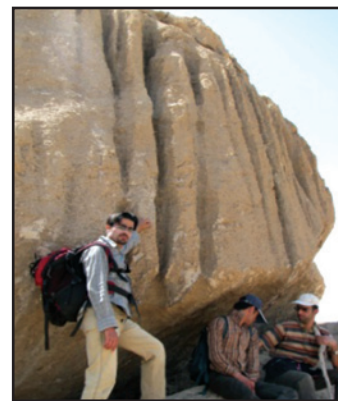
شکل ۷- عکس هوایی مورب از سد جیرفت (محل سریز کردن دریاچه زمین‌لغزه‌ای)، تنگدره پایین دست سد و هایگبک تشکیل‌دهنده ضلع شمال خاوری ناآودیس سد.



شکل ۱۲- زمین‌لغزه موجب تغییر مسیر هلیل رود و ایجاد بی‌هنگاری در مسیر آن شده است (ستاره‌ها ایستگاه‌های هیدرومتری هستند).



شکل ۱۱- قطعه سنگ‌های آذرین گردشده در چند نقطه در لایه‌ای مواد زمین‌لغزه‌ای معرف مسیر قبلی هلیل رود در محدوده گذار-نیروگاه سد هستند. در عین حال جلای بیابان موجود در آنها نشان‌دهنده نه چندان جدید بودن رخداد زمین‌لغزه است.



شکل ۱۳- رانل‌های انحلالی در سطح قطعه سنگ‌های زمین‌لغزه‌ای حاکی از رخداد زمین‌لغزه در ده‌ها تا چند صد هزار سال قبل است.  
(به تصویر فرد به عنوان مقیاس توجه شود).

جدول ۱ - توان لرزه‌زایی گسل‌های زمین‌لغزه جیرفت (مهندسين مشاور مهاب قدس، ۱۳۷۳)

فاصله تا زمین‌لغزه (کیلومتر)	توان لرزه زائی (Ms)	طول گسل (کیلومتر)	نام گسل
۳	۶/۳	۲۱	گسل کولکی
۵	۶/۴	۲۶	گسل پای تنگ
۶	۶/۶	۳۷	گسل بهجرد
۱۱	۶/۷	۴۵	گسل کاتاروئیه
۱۱	۶/۷	۵۰	گسل سرکز
۲۱	۷/۱	۱۰۰	گسل ساردوئیه
۲۵	۷/۴	۱۹۰	گسل سیزواران

جدول ۲ - خلاصه مشخصات زمین‌لغزه جیرفت

توضیح	مشخصه
مختصات $45^{\circ}$ و $28^{\circ}$ تا $28^{\circ}$ و $53^{\circ}$ و $28^{\circ}$ عرض شمالی و $20^{\circ}$ و $20^{\circ}$ و $57^{\circ}$ طول خاوری کیلومتر مربع $53$ کیلومتر مربع $25/6$ حدود $8$ کیلومتر مکعب سنگ آهک الیگومیوسن (بخش بالایی سازند قم) همراه با مقداری از مارن‌های زیر آن ۶ درجه حدود $300$ متر احتمالاً ده‌ها هزار سال تا چند صد هزار سال قبل حدود $7$ کیلومتر دو زبانه (شمالی و یاختری) و دو بخش (خاوری و میانی) مسدود کردن مسیر هلیل رود، ایجاد یک تنگه، تغییر مسیر هلیل رود، بریده شدن مخروط افکنه هلیل رود و چند مخروط افکنه دیگر، ایجاد یک دریاچه موقتی، معکوس شدن جهت جریان در دره رودان، تغییر در نیم‌رخ طولی هلیل رود	موقعیت جغرافیایی و سعت کل و سعت توده سنگی که حرکت کرده حجم جنس و سن سنگ حرکت کرده شیب دامنه گسیخته شده ستراپی سنگ حرکت کرده زمان رخداد بیشترین مسافت حرکت تعداد اجزاء اثرات
براساس وسعت و با توجه به دسته بندی Cornforth (2005)	
عظیم (huge)	
براساس سرعت احتمالی و با توجه به دسته بندی Curden and Varnes (1996)	
(extremely rapid) فوق العاده سریع	
سنگ‌لغزه (rockslide)	براساس دسته بندی Hutchinson (1967)
استورستورم (sturzstorm)، بهمن سنگی (rock avalanche)	نام
بهمن سنگ لغزه (rock slide avalanche)	
سنگ‌ها (debris avalanche) و زمین‌لغزه طولی المسیر (long run-out landslide)	سایر نام‌های قابل قبول

## کتابنگاری

- افشین، ی.، ۱۳۷۳- رودخانه‌های ایران، جلد اول، مهندسین مشاور جاماب.
- برزگر، ف.، صدیقیان، ا.، و نجماوی، م.، ۱۳۶۸- یادداشتی بر زمین‌شناسی محل سد هلیل رود (جیرفت)، تحقیقات جغرافیائی، شماره ۱، صفحات ۳۶-۵۵.
- حسینی، بز.، ۱۳۸۶- پنهان‌بندی خطر سیل در دشت جیرفت با توجه به معیارهای ژئومورفولوژیکی و با استفاده از عکس‌های هوایی و تصاویر ماهواره‌ای، پایان‌نامه کارشناسی ارشد، دانشگاه شهید باهنر، ۱۸۸ ص.
- حق‌شناس، ا.، جعفری، م.ک. و کمک‌پناه، ع.، ۱۳۷۶- دومنی سمتیار زمین‌لغزه و کاهش خسارت‌های آن، جلد اول، مؤسسه بین‌المللی زلزله‌شناسی و مهندسی زلزله.
- شهرابی، م.، ۱۳۸۴- دریاچه‌های کوهستانی تار و هیر و چگونگی تشکیل آنها، رشد زمین‌شناسی، دوره دهم، شماره ۴-۲۹، صفحات ۲۶-۲۹.
- عباس‌نژاد، ا.، ۱۳۸۷- بررسی سیل خیزی (پنهان‌بندی خطر سیل در حوضه آبریز هلیل رود با استفاده از GIS)، گزارش طرح تحقیقاتی، دانشگاه شهید باهنر، ۳۰۹ ص.
- فاریابی، ع.، ۱۳۷۲- مطالعه چینه‌شناسی و فسیل‌شناسی سازند قم در منطقه ساردوئیه و سبزواران، پایان‌نامه کارشناسی ارشد، دانشگاه تربیت معلم تهران.
- فاطمی‌عقداء، س.، غیومیان، ج.، عطائی، ا.، داوودی، م.ه. و نوروزی، ع.، ۱۳۸۴- تعیین مناسب ترین روش کنترل لغزش با استفاده از سامانه پشتیبان تصمیم (DSS)، مطالعه موردی زمین‌لغزش باریکان، طالقان، فصلنامه علوم زمین، سال دوازدهم، شماره ۵۶، صفحات ۸۴ تا ۹۳.
- محمدی‌زاده، ج. و پیغمبری، ا.، ۱۳۸۵- زمین‌لغزه‌های جنوب رامسر (منطقه‌ی بیاز کش)، رشد زمین‌شناسی، دوره دوازدهم، شماره ۲، صفحات ۲۴-۱۹.
- مهندسين مشاور سازه پردازي ايران، ۱۳۸۳- طرح ساماندهي و تعين حریم و بستر رودخانه‌های هلیل و شور جیرفت، فصول دوم و چهارم (مطالعات هواشناسی و هیدرولوژی).
- مهندسين مشاور مهاب قدس، ۱۳۷۳- گزارش لززه خیزی و برآورد خطر زمین‌لغزه سد بنتی قوسی جیرفت.
- نبوی، م.، ح.، ۱۳۵۵- دیباچه‌ای بر زمین‌شناسی ایران، سازمان زمین‌شناسی کشور.

## References

- Alexander, D. & Formichi, R., 1993- Tectonic Causes of Landslides, Earth Surface Processes and Landforms, Vol. 18, pp. 311-338.
- CETIRAN, CO., Eng., 1975- Barrage de Jiroft.
- Cornforth, D. H., 2005- Landslides in Practice, Investigations, Analysis, and Remedial/ Preventative Options in Soils, John Wiley, New York.
- Cotecchia, V., 1978- Earthquacke- Prone Environments, In: Slope stability, Geotechnical Engineering and Geomorphology, ed . By: M. G. Andeson & K. S. Richards, John Wiley, Chichester, PP.287-330.
- Curden, D. M., 1976- Major rock slides of The Rockies, Canada, Geotechnical Journal, Vol 13, PP. 8-20.
- Curden, D., M . & Varnes, D., J., 1996- Landslide Types and Processes, In: A., K. Turner and R.L. Shuster (eds), Landslides, Investigation and Mitigation, National Academy Press, Washington, PP.36-75.
- Dimitrijevic, M. D., 1973- Geology of Kerman Region, Geological Survey of Iran, Report No Yu/52.
- Erismann, T., H., 1979- Machanisms of large landslides, Rock Mechanics, Vol 2, PP. 15-46.
- Garvin, C. D., Hanks, T. C., Finkel, R. C. & Heimsath, A.M., 2005- Episodic incision of the Colorado River in Glen Canyon, Utah, Earth Surface Processes and Landforms, Vol 30, PP.973-984.
- Goguel, J., 1978- Scale- dependant rockslide mechanisms, with emphasis on the role of pore fluid vaporization. In: B. Voight(ed.) Rockslides and avalanches, 1, Natural Phenomena, Elsevier, New York, P. 693-708.
- Hsu, K. J., 1975- On struzstorms- catastrophic debris streams generated by rockfalls, Geological Society of America Bulletin, Vol 86, PP. 126-140.
- Hutchinson, J. N., 1968- Mass movement, In: R.W.Farbridge (ed.). The Encyclopedia of Geomorphology, Reinold, New York, PP. 688-695.
- Jibson, R.W., 2009- Using Landslides for Paleoseismic Analysis, in: Paleoseismology(2ned.), ed. By: J.P.McCalpin, PP.565-601.
- Keefer, D. K., 1984- Landslides caused by earthquakes, Geological Society of America Bulletin, Vol 95, PP 406-421.
- Kent, P. E., 1966- The transport mechanism in catastrophic rockfalls, Journal of Geology, Vol 74, PP. 79-83.
- Leland, J. F., Burbank, M. R., Finkel, D. W. & Caffee, M., 1995-  $^{10}\text{Be}$  and  $^{26}\text{Al}$  exposure ages from bedrock river- cut terraces in northern Pakistan: implications for incision and uplift rates, EOS transactisons, 76, F685.
- Mc guire, M. C., B., Mason, I. & Kilburn, C., 2002- Natural Hazard and Environmental Change, Arnold. New York.
- Pederson, J. L., Anders, M. D., Rittenhour, T. M., Sharp, W. D., Grosse, J. C., & Karlstrom, K. E., 2006- Using fill terraces to understand incision rates and evolution of the Colorado river in eastern Grand Canyon, Arizona, Journal of Geophysical Research, Vol III, Fo 2003, doi: 10.1029/2004JF000201.
- Shreve, R. L., 1968- The Blackhawk landslide, Geological Society of America, Special Paper, 108, 47 PP.
- Timotijevic, S., Cretic, S., Dimitrijevic, M., N., Dimitrijevic, M. D., 1972- Geological map of Iran,1:100000 series, Sheet 7447- Esfandageh, Geological Survey of Iran.
- Voight, B. & Pariseau, W. G., 1978- Rockslides and avalanches, 1: Natural phenomena, ed. By: B. Voight, Elsevier, Amesterdam, PP. 1-67.
- Watson, R. A. & Wright, H. E., 1967- The Seidmarreh landslide, Iran, Geological Society of America, Special Paper, 123, PP. 115-139.
- Wohl, E. E., 1999- Incised bedrock channels, In: Incised River channels: Processes, Froms, Engineering and Management, ed. By: S.E. Darby and A. Simson, John Wiley, Chichester, PP 187-218.

**Keywords:** Kangan Formation, Porosity, Well Logs, Artificial Neural Network, Regularization Training Method, Committee Machine, Ensemble Combination, Genetic Algorithm

For Persian Version see pages 33 to 40

\*Corresponding author: M. Zakeri; E-mail:mahmood\_zakery2006@yahoo.com

## The Huge Jiroft Landslide: Introduction, Indications and Characteristics

A. Abbasnejad <sup>1\*</sup>

<sup>1</sup> Department of Geology, Shahid Bahonar University of Kerman, Kerman, Iran

Received: 2009 December 09

Accepted: 2010 August 29

### Abstract

The huge and historical landslide of Jiroft, being about 53 Km<sup>2</sup> in area, is located in 35 Km NW of Jiroft town just adjacent to Jiroft Dam and in coordinates of 28° 45' to 28° 53' N and 57° 20' to 57° 30' E. This slide which has taken place as a result of massive movement of upper reefal part of Qom formation dipping only 6°, 8 cubic kilometers in volume and about 300 meters thickness over the underlying marls, is recognizable based on shattered rocks, anomaly along the course of Halil Roud and the presence of well-rounded igneous boulders in some parts among the shattered rocks. As a result of this slide, the course of Halil was completely blocked and an ephemeral lake was created. Afterwards, the lake overflowed in another place (the present place of the Dam) which was the lowest point in its periphery. Due to this river detour, the Halil Roud incised its fan, created a gorge from the overflowing point to its confluence point, as well as incision of several small fans along its course. The presence of several active faults and low slope of the sliding mass imply the probable influence of earthquake and heavy precipitation as triggering mechanisms. The main characteristics of this slide include very low slope (6°), its size (53km<sup>2</sup> in area and maximum run-out distance of about 7 km), comprising four parts, specific mechanism (like other sturzstorms) and its time of occurrence (probably 60000 to 100000 years ago). Depending on the classification of landslides, it may be considered as extremely rapid rock slide, sturzstorm, rock avalanche as well as debris avalanche. The desert varnish of boulders engaged in the slide mass and the solution runnels generated after the slide suggest that the age of the slide is about tens of thousands to several thousands years ago.

**Keywords:** Landslide, Jiroft, Halil Roud, Jiroft Dam, Channel anomaly, Natural lake, Alluvial fan.

For Persian Version see pages 41 to 48

\*Corresponding author: A. Abbasnejad; E-mail: aabbas@uk.ac.ir

## Using Index Overlay, Fuzzy Logic Method and Analytical Hierarchy Process in order to Determine Au and Cu Potential Targets in North Part of Dali Porphyry Deposit

S. Yousefifar<sup>1\*</sup>, A. Khakzad<sup>1</sup>, H. Asadi Harooni<sup>2</sup>, M. R. Jafari<sup>3</sup>, M. Vosoughi Abedini<sup>1</sup>

<sup>1</sup> Department of Geology, Science and Research Branch, Islamic Azad University, Tehran, Iran

<sup>2</sup> Mining Department, Faculty of Mining Engineering, Isfahan University of Technology, Isfahan, Iran

<sup>3</sup> Department of Geology, North Tehran Branch, Islamic Azad University, Tehran, Iran

Received: 2010 April 04

Accepted: 2010 September 19

### Abstract

Dali porphyry copper-gold deposit is situated geologically in contact of the Urmieh-Dokhtar magmatic belt and the Sanandaj-Sirjan zone in central of Iran and for the first time this deposit was investigated with using the satellite image processing (TM). In this research, the Northern part of the Dali deposit has been investigated in order to recognize the potential copper and gold-bearing target areas. The survey layers include